

## СПИСОК ЛИТЕРАТУРЫ

- [1] Caves C. M. et al. Rev. Mod. Phys., 1980, 152, p. 341. [2] Braginskij V. B., Vorontsov Yu. I., Thorne K. S. Science, 1980, 209, p. 547. [3] Воронцов Ю. И., Халили Ф. Я. Препринт физ. фак. МГУ № 11/1981. [4] Брагинский В. Б., Вятчанин С. П. ДАН СССР, 1981, 259, № 3, с. 570. [5] Хелстром К. Квантовая теория проверки гипотез и оценивания. М.: Мир, 1979, с. 130—133. [6] Брагинский В. Б., Воронцов Ю. И., Халили Ф. Я. Письма в ЖЭТФ, 1978, 27, № 5, с. 296.

Поступила в редакцию  
28.04.82

ВЕСТН. МОСК. УН-ТА. СЕР. 3. ФИЗИКА. АСТРОНОМИЯ, 1983, Т. 24, № 3

УДК 539.17.01

### ПРЕДРАВНОВЕСНАЯ ЭМИССИЯ ФОТОНУКЛОНОВ И МЕТОД КВАНТОВЫХ ФУНКЦИЙ ГРИНА

Ф. А. Живописцев, А. К. Деб (Бангладеш), А. М. Сливной

(кафедра ядерных взаимодействий и ускорителей)

1. За последние годы были получены значительные успехи при описании высоковозбужденных состояний атомных ядер в рамках модели оболочек с учетом связи входных частично-дырочных состояний с более сложными: типа две частицы — две дырки [1, 2]. Однако рассчитанные в таком приближении спектры фотонуклонов значительно беднее, чем дает эксперимент. В связи с этим для объяснения экспериментальных спектров фотонуклонов необходимо учесть процесс предравновесного распада [3—6]. Микроскопическое обоснование предравновесного распада в фотоядерных реакциях ( $E_\gamma \leq 50$  МэВ) и есть предмет исследования данной работы.

2. Полный гамильтониан системы  $H$  представляется в виде суммы гамильтониана нуклонного поля  $H_N$ , гамильтониана электромагнитного поля  $H^0_\gamma$  и оператора электромагнитного взаимодействия  $V_\gamma$ :

$$H = H_N + H^0_\gamma + V_\gamma.$$

Возбужденные состояния конечного ядра  $B$  будем классифицировать по числу экситонов  $N$ , под которым понимается сумма числа нуклонов ( $n$ ) и нуклонных дырок ( $m$ ):  $N = n + m$ ,

$$\begin{aligned} |B\rangle = \lim_{\gamma \rightarrow 0} \gamma \sum_{\{\nu\}} \int_{t_1}^{\infty} dt_2 \exp[-i(E_B - E_A)t_2 - \gamma t_2] \times \\ \times C_{\{\nu\}}^{nm} a_{\nu_1}^+(t_2) \dots a_{\nu_n}^+(t_2) |a_{\nu_{n+1}}(t_2) \dots a_{\nu_N}(t_2) |A\rangle, \end{aligned} \quad (1)$$

где  $a^+_\nu(t_2) = \int d^3p \varphi^+(\mathbf{p}_1, t_2) \varphi_\nu(\mathbf{p})$ ,  $\varphi_\nu(\mathbf{p})$  — одночастичная волновая функция модели оболочек в импульсном представлении,  $\nu$  — набор квантовых чисел, характеризующих одноквазичастичное состояние,  $C_{\{\nu\}}^{nm}$  — обобщенный спектроскопический фактор, характеризующий состояние конечного ядра  $B$ ,  $|A\rangle$  — вектор основного состояния ядра-мишени  $A$ . Используя (1), окончательно для матрицы реакции  $S_{B\gamma}$  получим [7]:

$$S_{B\gamma}(E_\gamma) = \lim_{\substack{\varepsilon \rightarrow 0 \\ \eta \rightarrow 0}} \varepsilon \eta \int_{-\infty}^0 dt_1 \int_0^{\infty} dt \exp[iE_B t - \varepsilon t - iE_\gamma t' + \eta t'] \times$$

$$\times \lim_{\gamma \rightarrow 0} \gamma \int_{t_1}^{\infty} dt_2 \exp[i(E_B - E_A)t_2 - \gamma t_2] \times$$

$$\times \sum_{\{\nu\}} \int d p_1 \dots d p_N \Phi_{\beta}^{*(-)}(\mathbf{p}) C_{\{\nu\}}^{nm} \prod_{i=1}^N \Phi_{\nu_i}^*(\mathbf{p}_i) G[N+1, \gamma], \quad (2)$$

где

$$G[N+1, \gamma] = i^{N+1/2} \langle A | T\{\varphi(\mathbf{p}_1, t_2) \dots \varphi(\mathbf{p}_n, t_2) \varphi^+(\mathbf{p}_{n+1}, t_2) \dots$$

$$\dots \varphi^+(\mathbf{p}_N, t_2) \varphi(\mathbf{p}_1, t) \cdot c^{\dagger}_{\lambda}(\mathbf{k}, t)\} | A \rangle$$

— смешанная многочастичная функция Грина,  $\varphi^{(-)\beta}(\mathbf{p})$  — волновая функция эмиттируемого нуклона:

$$[\mathcal{E}_{\beta} - M(\mathcal{E}_{\beta})] \varphi^{(-)\beta}(\mathbf{p}) = 0,$$

$M$  — массовый оператор нуклона (оптический потенциал),  $c^{\dagger}_{\lambda}(\mathbf{k})$  — оператор рождения  $\gamma$ -кванта с энергией  $E_{\gamma}$  и поляризацией  $\lambda$ .

Задача нахождения  $S_{\beta\gamma}$ -матрицы сводится к нахождению  $G[N+1, \gamma]$ . Функция Грина  $G[N+1, \gamma]$  удовлетворяет следующему уравнению:

$$G[N+1, \gamma] = D\tau_{\gamma}[N+1]G^0[N+1, N+1], \quad (3)$$

где  $D$  — функция Грина  $\gamma$ -кванта,  $G^0[N, N] = \underbrace{G_1 \cdot G_1 \dots G_1}_{N}$  symm,  $G_1$  — одночастичная функция Грина. Вершина  $\tau_{\gamma}[N+1]$  определяется уравнением

$$\tau_{\gamma}[N+1] = V_{\gamma}^{\text{эфф}} G^0[2, 2] \Gamma_{2, N+1} G^0[N+1, N+1], \quad (4)$$

где  $V_{\gamma}^{\text{эфф}}$  — эффективная вершина невзаимодействующих нуклонов по отношению к полю  $\gamma$ -квантов,  $\Gamma_{2, N+1}$  — полная амплитуда взаимодействия:

$$G_{2, N+1} = G^0[2, 2] \Gamma_{2, N+1} G^0[N+1, N+1],$$

$G_{2, N+1}$  — соответствующая многочастичная функция Грина.

Из приведенных уравнений видно, что для решения задачи необходимо знание вершинных частей  $\Gamma_{22}$ ,  $\Gamma_{24}$ ,  $\Gamma_{2N+1}$ . Для  $T_{\beta\gamma}$ -матрицы получим из (2), (3), (4):

$$T_{\beta\gamma}(E_{\gamma}) = \sum_{\{\nu\}} \langle \Phi_{\beta}^{*(-)} C_{\{\nu\}}^{mn} \Phi_{\nu_1}^* \dots \Phi_{\nu_N}^* | \tau_{\gamma}[N+1] | \Phi_{\gamma} \rangle, \quad (5)$$

где  $\Phi_{\gamma}$  — волновая функция  $\gamma$ -кванта в импульсном представлении. Выражение  $G^0[2, 2] \Gamma_{2, N+1} G^0[N+1, N+1]$  преобразуем к виду

$$\tilde{G}[2, 2] \tilde{\Gamma}_{2, N+1} \tilde{G}[N+1, N+1],$$

где  $\tilde{G}[K, K]$  — функция Грина, определяемая уравнением

$$\tilde{G}[K, K] = G^0[K, K] + G^0[K, K] I_{K, K} \tilde{G}[K, K],$$

$$I_{K, K} = I_{K, K} + I_{K, K+2} \tilde{G}[K+2, K+2] I_{K+2, K},$$

$I_{K, K}$  — неприводимая симметризованная амплитуда взаимодействия (по каналу  $1p\ 1h$ ,  $2p\ 2h$ , ...,  $\frac{N+1}{2} p$ ,  $\frac{N+1}{2} h$ ).

В методе квантовых функций Грина легко написать систему уравнений для полных амплитуд взаимодействия  $\tilde{\Gamma}_{22n}$ :

$$\tilde{\Gamma}_{2, 2n} = I_{2, 2n} \delta_{2n, 4} + I_{24} \tilde{G}[4, 4] \tilde{\Gamma}_{4, 2n} =$$

$$= I_{2,2n} \delta_{2n,4} + I_{24} G[4, 4] I_{46} G[6, 6] I_{68} \dots \quad (6)$$

$$\dots G[2n-2, 2n-2] I_{2n-2,2n}.$$

Функцию Грина  $G[K, K]$  разобьем на две части: полюсную часть  $\bar{A}_K$  (соответствующую суммированию по состояниям дискретного спектра системы взаимодействующих  $K$  экситонов) и регулярную часть  $\bar{B}_K$  (соответствующую суммированию по состояниям непрерывного спектра):

$$G[K, K] = \bar{A}_K + \bar{B}_K.$$

Тогда систему уравнений для  $\tilde{\Gamma}_{N_1, N_2}$  (6) можно переписать в виде

$$\begin{aligned} \tilde{\Gamma}_{N_1, N_2}^c &= I_{N_1, N_2} \delta_{N_1+2, N_2} + I_{N_1, N_1+2} \tilde{B}_{N_1+2} \tilde{\Gamma}_{N_1+2, N_2}^c = \\ &= I_{N_1, N_2} \delta_{N_1+2, N_2} + I_{N_1, N_1+2} \tilde{B}_{N_1+2} I_{N_1+2, N_1+4} \tilde{B}_{N_1+4} \dots \tilde{B}_{N_1-2} I_{N_1-2, N_2}, \quad (7) \end{aligned}$$

$$\begin{aligned} \tilde{\Gamma}_{N_1, N_2} &= \tilde{\Gamma}_{N_1, N_2}^c + \sum_{K' > N_1} \tilde{\Gamma}_{N_1, K'}^c \tilde{A}_{K'} \Gamma_{K', N_2} = \\ &= \tilde{\Gamma}_{N_1, N_2} + \sum_{\{K\}} \tilde{\Gamma}_{N_1, K_1}^c \tilde{A}_{K_1} \tilde{\Gamma}_{K_1, K_2}^c \dots \tilde{A}_{K_n} \tilde{\Gamma}_{K_n, N_2}^c, \end{aligned}$$

$$(K_1 > N_1, K_2 > K_1, K_n < N_2).$$

В приближении хаотических фаз матричных элементов взаимодействия [8] в результате провоздких, но простых преобразований после усреднения по интервалу энергии  $\Delta E$  из (5) и (7) получим выражение для усредненных сечений реакции.

А. Статистический многоступенчатый прямой фотоэффект (МПФ):

$$\begin{aligned} \frac{d^3 \sigma_V^{(\text{МПФ})}(k_f)}{d\Omega_f d\mathcal{E}_f} &= \sum_{\substack{n=2 \\ \Delta n=+2}} \int d\mathcal{E}_2 d\Omega_2 \frac{mk_2}{\hbar^2 (2\pi)^3} \dots \\ \dots d\mathcal{E} d\Omega \frac{mk}{\hbar^2 (2\pi)^3} &\frac{d^2 \sigma_V^{(\text{ПФ})}(k_2)}{d\mathcal{E}_2 d\Omega_2} \frac{d^3 W(k_2, U_2; k_4, U_4)}{d\mathcal{E}_4 d\Omega_4} \dots \\ &\frac{d^2 W(k, U; k_f, U_B)}{d\mathcal{E}_f d\Omega_f}, \quad (8) \end{aligned}$$

где

$$\begin{aligned} \frac{d^2 W(k_i, U_i; k_j, U_j)}{d\mathcal{E}_j d\Omega_j} &= \frac{2\pi^2 mk_j}{(2\pi)^3 \hbar^2} \times \\ &\times \langle |\langle \varphi^{(-)}(k_i) \tilde{\Psi}_{N_i}(U_i) | I_{N_i+1, N_i+1} | \varphi^{(+)}(k_j) \rangle \times \\ &\times |\tilde{\Psi}_{N_i}(U_i)\rangle|^2 > \rho^{(b)}(N_j, U_j), \\ \frac{d^2 \sigma_V^{(\text{ПФ})}(k_2)}{d\mathcal{E}_2 d\Omega_2} &= \frac{2\pi}{\hbar} \frac{mk_2^2}{\hbar^2 (2\pi)^3} \frac{1}{I_V} \times \\ &\times \langle |\langle \varphi_V | V_V^{\text{ФФ}} | \varphi^{(+)}(k_2) \tilde{\Psi}_1(U_1) \rangle|^2 \rangle \rho^{(b)}(1, U_1); \end{aligned}$$

$\rho^{(b)}(N, U)$  — плотности связанных конфигураций с числом экситонов  $N$  и энергией  $U$ ,  $\varphi^{(+)}(k_i)$  — волновая функция рассеяния нуклона с волновым числом  $k_i$  в промежуточном (конечном) состоянии,  $\tilde{\Psi}_{N_i}(U_i)$  — волновая функция ядра остатка в этом состоянии ( $N_i$  —

число возбужденных квазичастиц и квазидырок с суммарной энергией  $U_i$ ),  $j_\gamma$  — поток падающих  $\gamma$ -квантов,  $k_f$  — волновое число фотонуклона эмиссии,  $U_B$  — энергия возбуждения конечного ядра  $B$ .

Б. Статистический многоступенчатый прямой фотоэффект с конечным временем жизни промежуточных состояний:

$$\frac{d^2 \sigma_{\gamma}^{(\text{МПФ})}(k_f)}{d\Omega_f d\mathcal{E}_f} \sum_{\substack{n=2 \\ \Delta n=+2}} \int d\mathcal{E}_2 d\Omega_2 \dots d\mathcal{E}_n d\Omega_n \times \\ \times \frac{\Gamma_n^\dagger(k_n, k_f)}{\Gamma_n(N_n, U_n)} \prod_{K=2}^{n-2} \frac{\Gamma_K^\dagger(k_K, k_{K+2})}{\Gamma_K(N_K, U_K)} \frac{d^2 \sigma_{\gamma}^{(\Gamma\Phi)}(k_2)}{d\mathcal{E}_2 d\Omega_2} \quad (9)$$

где

$$\Gamma_n^\dagger(k_n, k_f) = \frac{mk_f}{(2\pi)^2 \hbar^2} \rho^{(b)}(N_B, U_B) \times \\ \times \langle |\langle \Phi^{(-)}(k_n) \tilde{\Psi}_{N_n}(U_n) | I_{N_n+1, N_{B+1}} | \tilde{\Psi}_{N_B}(U_B) \Phi^{(+)}(k_f) \rangle|^2 \rangle, \\ \Gamma_K^\dagger(k_K, k_{K+2}) = 2\pi \langle |\langle \tilde{\Psi}_{N_K}(U_K) \Phi^{(-)}(k_K) | \times \\ \times I_{N_{K+1}, N_{K+2}+1} | \tilde{\Psi}_{N_{K+2}}(U_{K+2}) \Phi^{(+)}(k_{K+2}) \rangle|^2 \rangle \times \\ \times \rho^{(b)}(N_{K+2}, U_{K+2}) \rho(k_{K+2}),$$

$\Gamma_n(U_n, N_n)$  — полная ширина уровня ядра-остатка в промежуточном состоянии с числом экситонов  $N_n$  и энергией возбуждения  $U_n$ ,  $\rho(k) = mk \ll (2\pi)^3 \hbar^2$ .

В. Статистический многоступенчатый фотоэффект через связанные промежуточные состояния составного ядра (МСФ).

$$\frac{d^2 \sigma_{\gamma}^{(\text{МСФ})}(k_f)}{d\mathcal{E}_f d\Omega_f} = \frac{1}{2(2I_A + 1)} \sum_L B_L^{(\text{МСФ})} P_L(\cos \theta_f), \quad (10)$$

$$B_L^{(\text{МСФ})} = \sum_{J'l's'} \frac{(-1)^{s'-I_A-1}}{4} (i)^L Z(l' J l' J; s' L) \times \\ \times Z_{\gamma}(l J l J; I_A L) \frac{d \sigma^{(\text{МСФ})}}{d\mathcal{E}_f}(E_{\gamma}, l' s', J \pi),$$

где

$$\frac{d \sigma^{(\text{МСФ})}}{d\mathcal{E}_f}(E_{\gamma}, l' s', J \pi) = \\ = \sum_{\substack{n=2 \\ \Delta n=+2}} \frac{\Gamma_n^\dagger(l', s', J \pi)}{\Gamma_n(J \pi)} \prod_{K=2}^{n-2} \frac{\Gamma_K^\dagger(J \pi)}{\Gamma_{K'}(J \pi)} \sigma_{\gamma}^{\text{comp}}(E_{\gamma}, J \pi),$$

$$\Gamma_n^\dagger(l', s', J \pi) = 2\pi \langle |\langle \tilde{\Psi}_{N_n}(J \pi) | I_{N_n, N_{B+1}} \times \\ \times | [\Phi^{(+)}(l', \mathcal{E}_f) \tilde{\Psi}_{N_B}(U_B, I_B)]_{s' J \pi} \rangle|^2 \rangle \rho(l', s', \mathcal{E}_f) \rho^{(b)}(N_B, U_B, I_B),$$

$$\Gamma_K^\dagger(J\pi) = \sum_{l, l', s'} \int d\mathcal{E}_f \Gamma_K^\dagger(l', s', J\pi);$$

$$\Gamma_K(J\pi) = \Gamma_K^\dagger(J, \pi) + \Gamma_K^\dagger(J, \pi);$$

$$\Gamma_K^\dagger(J, \pi) = 2\pi < | \langle \tilde{\Psi}_{N_K}(J\pi) | I_{N_K, N_K+2} \times$$

$$\times | \tilde{\Psi}_{N_K+2}(J\pi) \rangle |^2 > \rho^{(b)}(N_K + 2, J\pi, E_\gamma);$$

$$E_\gamma = \mathcal{E}_f + U_B + B_N.$$

$s', l'$  — спин и орбитальный момент нуклона эмиссии,  $B_N$  — энергия связи нуклона в составном ядре,  $I_A$  — спин ядра-мишени,  $\sigma_\gamma^{\text{comp}}(E_\gamma, J\pi)$  — сечение поглощения  $\gamma$ -кванта с возбуждением входного частично-дырочного состояния ( $J\pi$ ) либр дипольного коллективного  $1p1h$ -состояния (ГДР) в области гигантского резонанса. Итак, полученные формулы (8), (9), (10) описывают фотоядерные реакции с эмиссией нуклонов в схеме МПФ, МСФ. Возможны и смешанные механизмы: МПФ + МСФ, МСФ + МПФ, МСФ + МПФ + МСФ.

Если в (9) для первой (входной) стадии (ГДР) многоступенчатого процесса величины  $\Gamma_2^\dagger$  рассчитывать по формулам  $R$ -матричной теории (в рамках модели оболочек) и эмиссию нуклонов на последующих стадиях установления равновесия и из составного ядра описывать в рамках феноменологической модели предравновесного распада [9], то придем к комбинированному описанию фотонуклонных спектров [4, 5]. Однако для корректного описания экспериментальных данных необходимо учитывать вклады от  $\frac{d^2\sigma^{(\text{МПФ})}(\kappa_f)}{d\mathcal{E}_f d\Omega_f}$ . Эта часть

сечения определяет МПФ через промежуточные состояния непрерывного спектра, что приводит к существенной анизотропии углового распределения фотонуклонов и специфическому распределению фотонуклонов по энергии в жесткой части спектра. Особенно эти вклады важны выше области гигантского дипольного резонанса ( $E_\gamma \leq 50$  МэВ).

Оценки относительных вкладов МПФ и МСФ в области ГДР легко получить в модели разделяющего потенциала ( $V = \lambda D_{ph} \cdot D_{p'h'}$ ):

$$\frac{d^2\sigma_\gamma^{(\text{МПФ})}}{d\mathcal{E}_f d\Omega_f} / \frac{d^2\sigma_\gamma^{(\text{МСФ})}}{d\mathcal{E}_f d\Omega_f} \simeq \Gamma_D^2 / 4\Delta_D^2 \quad (\text{одноступенчатая реакция}), \quad (11)$$

$$\frac{d^2\sigma_\gamma^{(\text{МПФ})}}{d\mathcal{E}_f d\Omega_f} / \frac{d^2\sigma_\gamma^{(\text{МСФ})}}{d\mathcal{E}_f d\Omega_f} \simeq \frac{\Gamma_D^2}{4\Delta_D^2} \pi g \Gamma_D^\dagger \quad (\text{двухступенчатая реакция}), \quad (12)$$

где  $\Gamma_D$  — ширина ГДР,  $\Delta_D = \langle \Phi_D | V | \Phi_D \rangle$ ,  $\Gamma_D = \Gamma_D^\dagger + \Gamma_D^\dagger$ ,  $g$  — одночастичная плотность, при этом формула (12) получена в пренебрежении эффектом искажения. Из (11) и (12) получим:

$$\sigma_\gamma^{(\text{МПФ})} \sim \sigma_\gamma^{(\text{МСФ})} \quad \text{для } A \sim 10,$$

$$\sigma_\gamma^{(\text{МПФ})} \sim (1/10) \sigma_\gamma^{(\text{МСФ})} \quad \text{для } A \sim 100.$$

Эти оценки указывают на важность учета МПФ для количественного описания фотоядерных реакций (особенно для легких ядер).

В заключение отметим, что в настоящей работе сформулированы основные положения квантовополевой теории предравновесных фотоядерных реакций ( $E_\gamma \leq 50$  МэВ), проведено микроскопическое обоснование феноменологической модели предравновесного распада в фотоядерных реакциях.

## СПИСОК ЛИТЕРАТУРЫ

- [1] Живописцев Ф. А., Шитикова К. В. Ядерная физика, 1972, 16, с. 42.  
 [2] Соловьев В. Г. В кн.: Тр. Междунар. шк. по структуре ядра (Алушта, 14—25 апреля 1980 г.). Дубна, 1980, с. 57. [3] Лукьянов В. К., Селивестров В. А., Тонеев В. Д. Ядерная физика, 1975, 21, с. 992. [4] Живописцев Ф. А., Лукашев А. В., Шитикова К. В. Ядерная физика, 1976, 23, с. 557. [5] Живописцев Ф. А. и др. Ядерная физика, 1977, 26, с. 754. [6] Zhipovistsev F. A., Shitikova K. V. Czech. Journal of Phys., 1979, B29, p. 1200. [7] Живописцев Ф. А. Ядерная физика, 1965, 1, с. 600. [8] Feshbach H., Kerman A., Koehn S. Ann. Phys., 1980, 125, p. 429. [9] Зайдель К. и др. ЭЧАЯ, 1976, 7, № 2, с. 499.

Поступила в редакцию  
17.05.82

ВЕСТН. МОСК. УН-ТА. СЕР. 3. ФИЗИКА. АСТРОНОМИЯ, 1983, Т. 24, № 3

УДК 539.143.43

### ОБ АНАЛИЗЕ СПЕКТРОВ ЯМР ВЫСОКОГО РАЗРЕШЕНИЯ

В. С. Туманов

(кафедра радиофизики СВЧ)

**Введение.** В данной статье в отличие от работ [1—3], продолжением которых она является, проблема анализа спектров ЯМР рассматривается в общем виде — для произвольных спектров типа  $A_i B_k C_l D_n \dots$ . В частности, обсуждаются вопросы однозначности отнесения линий спектров и выбора оптимальной методики отнесения. Изложение основано на применении многомерных энергетических диаграмм [2]. Большая часть статьи отводится методике двойного резонанса, которая в статье [3] обсуждалась лишь для случая произвольных слабосвязанных систем. Как отмечалось в [4], результаты работы [3] обобщаются и на системы с полусредней связью. В данном же случае рассматриваются системы с произвольной связью. Обозначения и терминология те же, что и в перечисленных работах.

**Универсальность правила повторяющихся частотных интервалов.** Наряду с правилом повторяющихся частотных интервалов, которое следует из нулевого значения алгебраической суммы частот, образующих какой-либо четырехугольник энергетической диаграммы, существуют аналогичные правила для любых других замкнутых контуров диаграммы. Однако связи между частотами, определяемые последними правилами, сводятся к связям, определяемым правилом повторяющихся интервалов. Это свойство мы назовем универсальностью правила повторяющихся интервалов. Доказательство универсальности правила можно провести методом индукции. Изложим идею доказательства. На рис. 1, а, б, в показаны первые шаги индукции. На каждом шаге можно доказать сводимость правил частот для вновь образующихся контуров к правилам для контуров предыдущего фрагмента диаграммы и правилу интервалов (например, в случае 1, а из соотношений  $\nu_{12} + \nu_{23} + \nu_{34} + \nu_{41} = 0$ ,  $\nu_{14} + \nu_{45} + \nu_{56} + \nu_{61} = 0$  ( $\nu_{ik} = E_i - E_k$ ) следует  $\nu_{12} + \nu_{23} + \nu_{34} + \nu_{45} + \nu_{56} + \nu_{61} = 0$ ). Универсальность правила интервалов доказывается

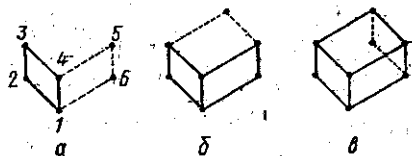


Рис. 1. К доказательству универсальности правила повторяющихся интервалов